



대전·세종·충남 3개월전망 해설서 (2026년 6 ~ 8월)

전 망

○ (기온)

- (6~7월) 북인도양, 북태평양의 높은 해수면 온도로 인해 우리나라 동쪽에 고기압성 순환이 강화되어 기온이 평년보다 높겠습니다.
- (8월) 북인도양과 북태평양의 높은 해수면 온도로 인해 우리나라 동쪽에 고기압성 순환이 강화되어 기온이 평년보다 높겠으나, 열대 서태평양의 해수면온도가 다른 해역의 비해 상대적으로 낮아 우리나라 주변에 저기압성 순환이 발달할 때가 있어 기온의 변동성이 크겠습니다.

	6월	7월	8월
평균기온 낮음 비수 높음			
	평년보다 높겠음	평년보다 높겠음	평년보다 높겠음
<평년범위>	21.5~22.1℃	24.5~25.5℃	25.0~26.0℃

○ (해수면 온도)

- (6월) 우리나라 주변 해역 열용량이 평년보다 높은 상태로, 우리나라 주변 해역으로 유입되는 따뜻한 해류가 평년보다 강하게 유지되어 해수면 온도가 평년보다 높겠습니다.
- (7~8월) 우리나라 주변 해역으로 유입되는 따뜻한 해류가 평년보다 강하게 유지되고 우리나라 부근에 고기압성 순환이 강화되어 해수면 온도가 평년보다 높겠습니다.

	6월	7월	8월
해수면 온도			
<평년범위>	서해 18.0~18.4℃ 남해 19.4~20.0℃ 동해 17.4~18.0℃	서해 21.5~22.3℃ 남해 22.9~23.7℃ 동해 20.2~21.0℃	서해 24.1~24.9℃ 남해 25.1~25.9℃ 동해 22.6~23.6℃

○ (강수량)

- (6월) 북인도양의 높은 해수면 온도로 인해 우리나라 동쪽의 고기압성 순환 강화, 봄철 티베트 지역의 많은 눈덮임에 의한 우리나라 상층 기압골의 영향으로 강수량이 평년보다 대체로 많겠습니다.
- (7월) 북인도양과 북태평양의 높은 해수면 온도로 인해 우리나라 동쪽에 고기압성 순환이 강화되어 강수량이 평년보다 대체로 많겠습니다.
- (8월) 베링해 적은 해빙의 영향으로 북서태평양 지역에 저기압성 순환이 강화되어 우리나라로 고온다습한 기류 유입이 제한되어 강수량이 감소할 가능성이 있겠으나, 기류수렴에 의해 국지적으로 많은 비가 내릴 때도 있겠습니다.

	6월	7월	8월
강수량			
<평년범위>	평년보다 대체로 많겠음 96.8~180.6mm	평년보다 대체로 많겠음 221.9~311.5mm	평년과 비슷하겠음 203.7~332.4mm

○ (태풍) 우리나라에 영향을 주는 태풍은 평년(여름철 평균 2.5개)과 비슷하겠습니다.

○ (기상가뭄)

- 종합적으로 강수현황 및 전망과 기상가뭄 현황을 고려한 결과, 대전·세종·충남 지역은 전망기간 동안 기상가뭄 발생할 가능성이 낮겠습니다.

※ 3개월전망은 매월 23일경 발표되며, 기압계 변화 시 수시전망이 발표될 수 있습니다.
 ※ 3개월전망은 기후예측모델 결과 및 기후감시요소 분석 결과 등을 종합적으로 고려하여 생산하였으며, 기후감시요소(변동성 등)에 대한 자세한 설명은 '요약(3~12쪽)' 및 '추가 설명 자료(16~24쪽)'를 참고하시기 바랍니다.
 ※ 태평양 등 전지구 대양 해수면 온도, 북극 해빙, 북극진동 등 기후감시요소는 시간이 지남에 따라 변동성이 커 기압계가 매우 유동적이며, 이에 따라 3개월전망이 변경될 수 있으니 매월 23일경 발표되는 3개월전망을 참고하시기 바랍니다.

요약

3개월전망 해설

- (기온 전망) 6~8월은 평년보다 높겠습니다(확률전망(%): (6월, 7월) 낮음 10, 비슷 30, 높음 60, (8월) 낮음 10, 비슷 40, 높음 50).
- (강수량 전망) 6~7월은 평년보다 대체로 많겠고(확률전망(%): 적음 20, 비슷 40, 많음 40), 8월은 평년과 비슷하겠습니다(확률전망(%): (8월) 적음 30, 비슷 50, 많음 20).
- (해수면 온도 전망) 6~8월 우리나라 주변 해역 해수면 온도는 평년보다 높겠습니다(확률전망(%): 서해 6월 낮음 10, 비슷 40, 높음 50, 7월 낮음 10, 비슷 30, 높음 60, 8월 낮음 10, 비슷 40, 높음 50
남해 6월 낮음 10, 비슷 30, 높음 60, 7월 낮음 10, 비슷 20, 높음 70, 8월 낮음 10, 비슷 30, 높음 60
동해 6~7월 낮음 10, 비슷 20, 높음 70, 8월 낮음 10, 비슷 30, 높음 60)

※ 태평양 등 전지구 대양 해수면 온도, 북극 해빙 등 기후감시요소는 시간이 지남에 따라 변동성이 커 기압계가 변경될 수 있으니 매월 23일경 발표되는 최신 3개월전망을 참고하시기 바랍니다.

1. 기온 전망

□ 기후예측모델 결과 [추가 설명 자료 21~24쪽]

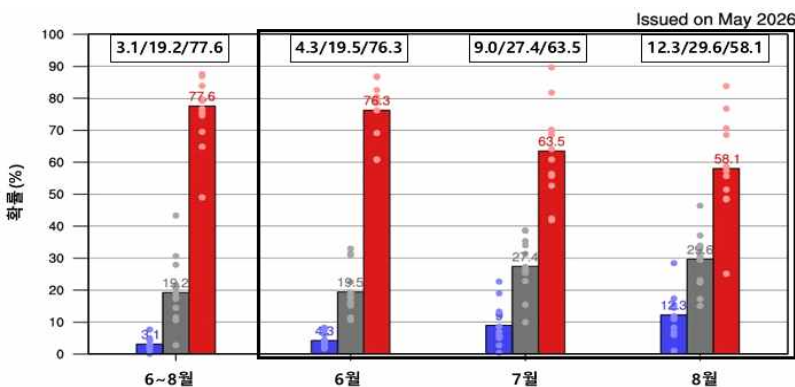
- (WMO 다중모델앙상블 선도센터) 영국, 일본 등 전 세계 12개 기상청 및 관계 기관이 제공한 기후예측모델^①은 6~8월 동안 평년보다 높을 확률을 58~76%로 예측하였습니다.

* 한국, 영국, 미국, ECMWF, 호주, 캐나다, 일본, 프랑스, 이탈리아, 브라질, 독일, 러시아 기상청이 제공한 525개 기후예측모델 자료 사용

※ 앙상블 평균^② 확률(낮음/비슷/높음): (6월) 4/20/76%, (7월) 9/27/64%, (8월) 12/30/58%

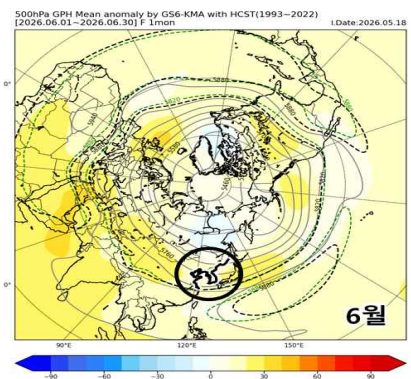
- (기상청) 6~8월 동안 기온이 평년보다 높을 확률을 45~84%로 예측하였습니다.

※ 앙상블 평균 확률(낮음/비슷/높음): (6월) 2/14/84%, (7월) 12/34/54%, (8월) 15/40/45%



< 6~8월 기온 예측 확률값 (%) (각 나라 모델값(점), 앙상블 평균(막대)) >

※ 파랑/회색/빨강 채색: 평년보다(과) 낮음/비슷/높음 확률
※ 자료출처: WMO 다중모델앙상블 선도센터



< 기상청 기후예측모델(GloSea6) 6월 500hPa(약 5.5km 상공) 지위고도 편차 >

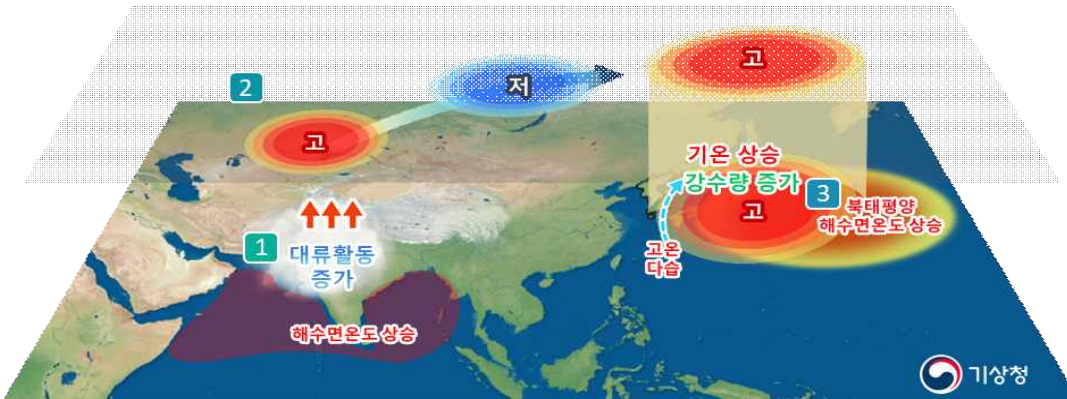
✓ 용어 해설

- ① 기후예측모델: 대기, 해양, 지면 등 기후시스템을 구성하는 각 기후 요소 간의 복잡한 상호작용을 물리, 역학적인 수치방정식으로 단순화시켜 기후를 예측할 수 있는 수치모델
- ② 앙상블 평균: 여러 개의 모델을 수행해 나온 결과의 평균

□ 기후감시요소 주요 분석결과 [추가 설명 자료 16~20쪽]

○ 기온이 평년보다 높을 수 있는 주요 요인에 대해 설명하겠습니다.

- 1 북인도양의 해수면 온도가 평년보다 높은 상태이며 이 상태가 지속될 경우 2 대류 활동이 증가하면서 대기 파동을 유도하여 우리나라 동쪽에 고기압성 순환이 발달합니다. 3 북태평양 고수온 효과로 고기압성 순환이 강하게 유지, 우리나라로 고온다습한 남풍이 유입되어 기온이 상승할 가능성이 있습니다 (6~8월). [그림 1]



[그림 1] 북인도양 및 북태평양 높은 해수면 온도와 우리나라 6~8월 기온과 강수량

- 1 북대서양의 해수면 온도 양의 삼극자 패턴^③이 지속될 경우 2 대기 파동^④을 유도하여 우리나라 상층에 고기압성 순환이 강화되어, 3 태양 복사량의 증가와 단열승온^⑤ 효과로 기온이 높을 가능성이 있습니다(6~7월). [그림 2]



[그림 2] 북대서양 해수면 온도 양의 삼극자 패턴과 우리나라 기온, 강수량

✓ 용어 해설

- ③ 북대서양 양의 삼극자 패턴: 해수면 온도가 북미 동쪽 연안(70~40°W, 30~45°N)에 양의 편차가 나타나고, 그린란드 남부 해역(50~10°W, 48~60°N)과 카나리해 부근(40~10°W, 10~25°N)에 음의 편차가 나타나는 패턴
- ④ 대기 파동: 남쪽에서 북쪽 또는 서쪽에서 동쪽으로 에너지가 전파되면서, 평년과 비교하여 고기압성 순환/저기압성 순환이 번갈아 가며 나타나는 현상
- ⑤ 단열승온: 고기압 중심부의 하강 기류로 인해 공기 압축에 따라 열에너지가 증가하여 습도가 감소하고, 기온이 상승하는 현상

○ 그러나, 기온이 높지 않을 수 있는 변동 요인도 있어 설명하겠습니다.

- 봄철 티베트고원의 눈덮임이 평년보다 많은 경우 지면에서 대기로 열 방출이 감소하여 티베트고기압 강도가 약화 되고, 우리나라 상층 기압골이 강화되어 기온이 평년보다 낮아질 가능성이 있습니다(6월).
- 열대 서태평양의 해수면 온도가 다른 해역에 비해 상대적으로 낮은 상태가 지속될 경우 이 지역의 대류활동의 약화로 고기압성 순환이 형성되고, 우리나라에 저기압성 순환이 발달하여 기온이 평년보다 낮아질 가능성이 있습니다(8월).

□ 종합적으로 위에서 분석한 기후예측모델 결과, 기후감시요소의 기온 상승요인 및 변동 요인을 고려하여 6~8월은 평년보다 높을 것으로 전망하였습니다.

2. 강수량 전망

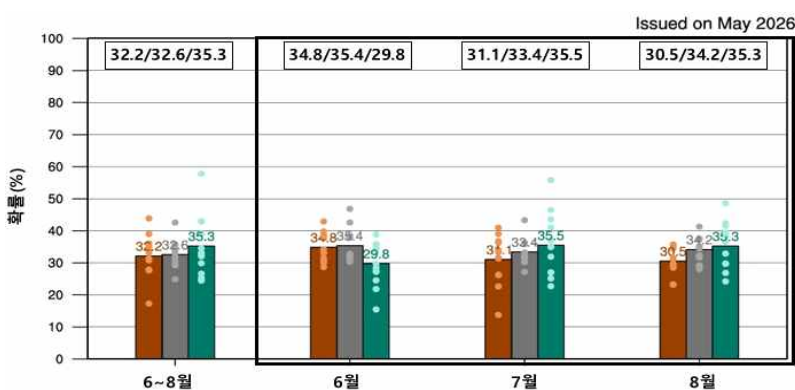
□ 기후예측모델 결과 [추가 설명 자료 21~24쪽]

○ (WMO 다중모델앙상블 선도센터) 영국, 일본 등 전 세계 12개 기상청 및 관계 기관이 제공한 기후예측모델에서 6~8월 세 범위(적음/비슷/많음)를 비슷한 확률로 예측하였습니다.

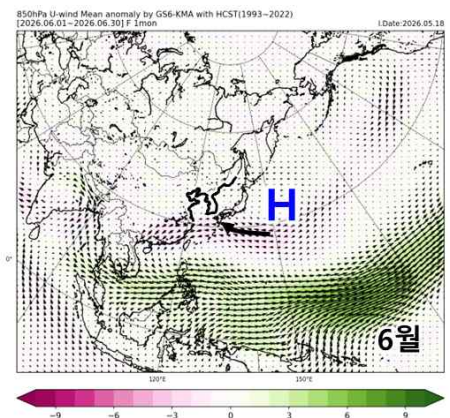
※ 앙상블 평균 확률(적음/비슷/많음): (6월) 35/35/30%, (7월) 31/33/36%, (8월) 31/34/35%

○ (기상청) 6~7월은 세 범위(적음/비슷/많음)를 비슷한 확률로 8월은 비슷할 확률(46%)이 클 것으로, 예측하였습니다.

※ 앙상블 평균 확률(적음/비슷/많음): (6월) 31/32/37%, (7월) 33/35/32%, (8월) 31/46/23%



< 6~8월 강수량 예측 확률값(%) (각 나라 모델값(점), 앙상블 평균(막대)) >
 ※ 갈색/회색/초록 채색: 평년보다(과) 적음/비슷/많음 확률
 ※ 자료출처: WMO 다중모델앙상블 선도센터



< 기상청 기후예측모델(GloSea6) 6월 850hPa(약 1.5km 상공) 바람 편차 >

□ 기후감시요소 주요 분석결과 [추가 설명 자료 16~20쪽]

○ 강수량이 평년보다 많아질 요인에 대해 설명하겠습니다.

- 북인도양과 북태평양의 해수면 온도가 높은 상태로, 이 상태가 지속될 경우 우리나라 동쪽에 고기압성 순환이 강화되어 남쪽의 고온다습한 기류 유입이 강화되어 강수량이 증가할 가능성이 있습니다(6~7월). [그림 1]
- 봄철 티베트 지역에 눈덮임이 평년보다 많은 경우 지면에서 대기로 열 방출이 감소하여 티베트 고기압 강도가 약화 되고, 우리나라 상층 기압골이 강화되어 강수량이 평년보다 많아질 가능성이 있습니다(6월).

○ 그러나, 강수량이 평년보다 적어질 요인도 있어 설명하겠습니다.

- 바렌츠해 해빙이 평년보다 적은 상태가 지속될 경우 이 지역의 해수면 온도가 상승하고, 고기압성 순환 강화 및 대기 파동이 발생하여 우리나라 부근에 고기압성 순환이 강화되면서 강수량이 감소할 가능성이 있습니다(6~7월).
- 베링해 해빙이 평년보다 적은 상태가 지속될 경우 이 지역에는 고기압성 순환, 북서태평양 지역에는 저기압성 순환이 강화되면서 우리나라 부근에는 고온다습한 기류의 유입이 평년보다 약화 되어 강수량이 감소할 가능성이 있습니다(8월).

□ 종합적으로 위에서 분석한 기후예측모델 결과, 기후감시요소의 강수량이 많은 요인 및 변동 요인을 고려하여 6~7월은 평년보다 대체로 많겠고, 8월은 평년과 비슷할 것으로 전망하였습니다.

※ 여름철 동안 북태평양고기압 가장자리 위치에 따라 강수지역의 변동성이 클 수 있으며, 기류수렴에 의해 국지적으로 많은 강수가 내릴 가능성 있음

3. 해수면 온도 전망

□ 기후예측모델 결과 [추가 설명 자료 21~24쪽]

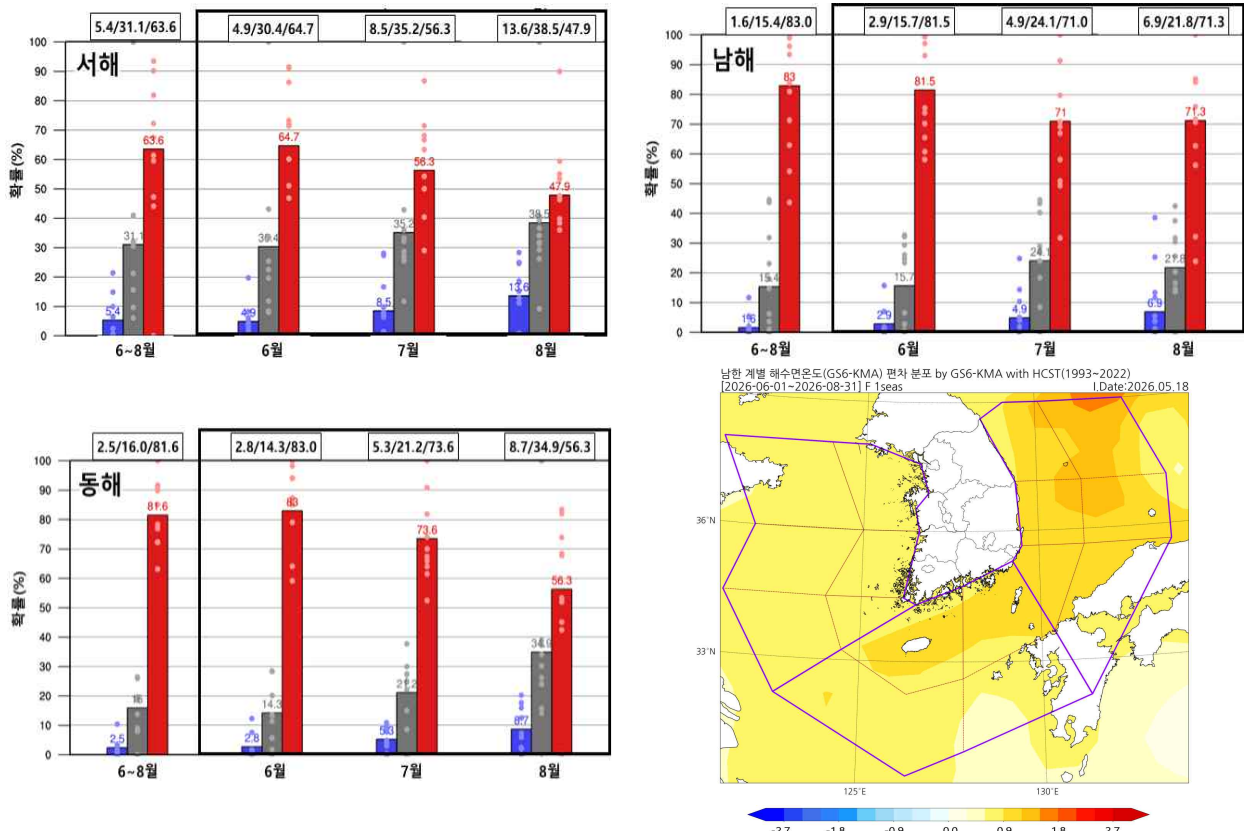
○ (WMO 다중모델앙상블 선도센터) 10개* 기상청 및 관계 기관이 제공한 기후예측모델은 6~8월 동안 평년보다 높은 확률을 서해 48~65%, 남해 71~81%, 동해 56~83%로 예측하였습니다.

* 한국, 영국, 미국, 유럽, 호주, 캐나다, 프랑스, 이탈리아, 독일, 러시아 기상청이 제공한 460개 기후예측모델 자료 사용

※ 앙상블 평균 확률(낮음/비슷/높음): (6월) 서해 5/30/65%, 남해 3/16/81%, 동해 3/14/83%, (7월) 서해 9/35/56% 남해 5/24/71% 동해 5/21/74% (8월) 서해 14/38/48% 남해 7/22/71% 동해 9/35/56%

○ (기상청) 6~8월 동안 평년보다 높은 확률을 58~97%로 예측하였습니다.

※ 앙상블 평균 확률(낮음/비슷/높음): (6월) 서해 3/10/87% 남해 0/3/97% 동해 1/4/95% (7월) 서해 12/18/70% 남해 7/17/76% 동해 8/17/75% (8월) 서해 19/23/58% 남해 6/15/79% 동해 12/19/69%



< 6~8월 해역별 해수면 온도 예측 확률값(%)
(각 나라 모델값(점), 앙상블 평균(막대)) >

※ 파랑/회색/빨강 채색: 평년보다(과) 낮음/비슷/높음 확률
※ 자료출처: WMO 다중모델앙상블 선도센터

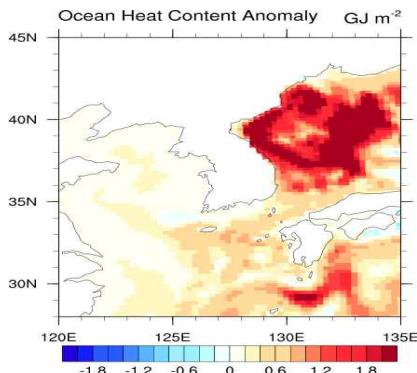
< 기상청 기후예측모델(GloSea6)
6~8월 해수면 온도 편차 >

※ 빨강/파랑 채색: 평년보다 해수면 온도가 높음/낮음

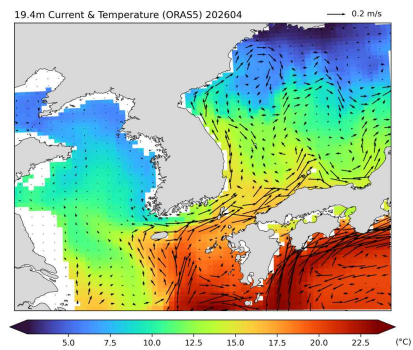
□ 기후감시요소 주요 분석결과 [추가 설명 자료 16~20쪽]

○ 해수면 온도가 평년보다 높을 수 있는 주요 요인에 대해 설명하겠습니다.

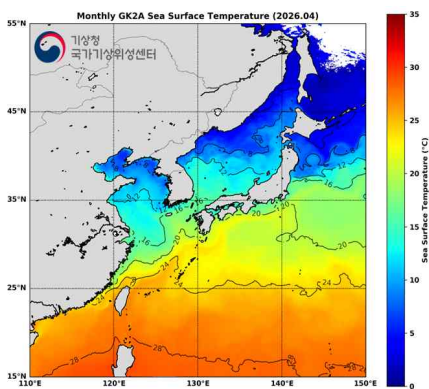
- 4월 우리나라 주변 해역 열용량이 평년보다 높은 상태로, 우리나라 주변으로 유입되는 대마 난류1)와 동한 난류2)가 평년보다 강하게 유지되며 5월 현재 남해와 동해의 해수면 온도가 평년보다 높습니다.
- 우리나라 주변 해역으로 유입되는 해류가 평년보다 강하게 유지될 경우 남해와 동해를 중심으로 해수면 온도가 높을 가능성이 있습니다(6~8월).
- 북인도양과 북태평양 해수면 온도가 평년보다 높은 상태이며 북대서양 해수면 온도의 양의 삼극자 패턴이 나타나는 상황으로 이 상태가 지속될 경우 우리나라 부근 고기압성 순환이 발달하며 해수면 온도 또한 높을 가능성이 있습니다(6~8월).



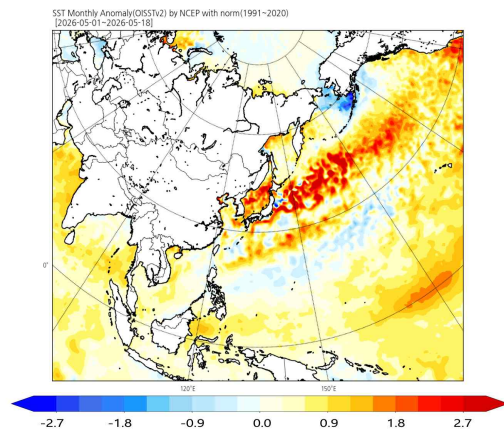
< 4월 열용량(0~300m) 편차 >
 ※ 빨강/파랑 채색: 평년보다 열용량이 높음/낮음
 ※ 자료출처: ECMWF ORASS



< 4월 수온 및 해류(수심 약 20m) >
 ※ 채색: 평균 수온, 화살표: 해류 유향·유속 벡터
 ※ 자료출처: ECMWF ORASS



< 4월 해수면 온도(천리안위성 2A호)>



< 5월(5.1~18.) 해수면 온도 편차 >
 ※ 빨강/파랑 채색: 평년보다 해수면 온도가 높음/낮음
 ※ 자료출처: NOAA OISSTv2

- 1) 대마 난류: 쿠로시오 해류에서 분리된 고온·고염의 바닷물이 동중국해를 거쳐 대한해협을 지나 동해로 유입되어, 남해와 동해 남부에 영향을 주는 해류
- 2) 동한 난류: 동해 연안을 따라 북상하는 난류로, 남해에서 유입된 따뜻한 해수가 동해 서부를 따라 이동하며 동해 중·북부 해역의 수온에 영향을 주는 해류

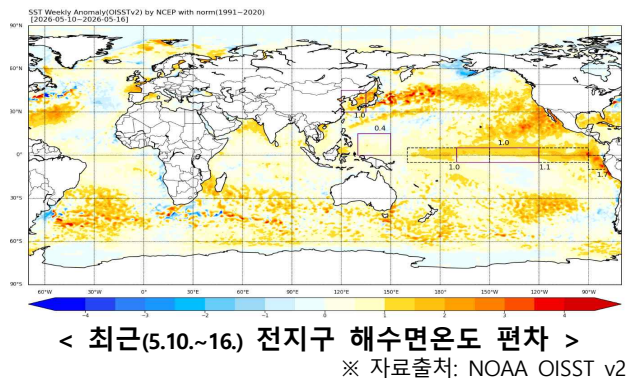
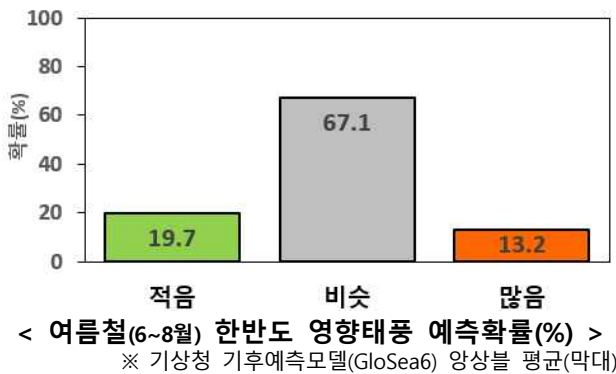
- 그러나, 해수면 온도가 높지 않을 수 있는 변동 요인도 있어 설명하겠습니다.
 - 봄철 티베트 지역에 평년보다 눈덮임이 많은 경우 우리나라 상층에 기압골이 강화되어 서해를 중심으로 해수면 온도가 하강할 가능성이 있습니다(6월).
- 종합적으로 위에서 분석한 기후예측모델 결과, 기후감시요소의 해수면 온도가 높을 요인 및 변동 요인을 고려하여 6~8월 우리나라 주변 해역의 해수면 온도는 평년보다 높을 것으로 전망하였습니다.

※ 그 외 기후감시 요소의 영향과 상세한 내용은 「전지구 기후감시 요소 분석」을 참고 바랍니다.

4. 태풍 전망

□ 기후예측모델 결과

- (기상청 기후예측모델^⑥) 3개월(6~8월) 동안 우리나라에 영향을 미치는 태풍이 평년보다 적을 확률은 20%, 비슷할 확률은 67%, 많을 확률은 13%로 예측하였습니다.
- (기타 모델) 3개월(6~8월) 동안 우리나라에 영향을 미치는 영향 태풍을 통계모델^⑦은 평균 2.1개, 통계-역학모델^⑧은 1.0개 예측하였습니다.



□ 기후감시 요소 주요 분석 결과

- (유사해 분석) 최근 엘니뇨·라니냐 감시구역의 해수면 온도는 중립 상태가 유지되고 있으며, 여름철에는 엘니뇨로 전환될 가능성이 높겠습니다. 과거 이러한 경향일 때 우리나라는 6~8월에 0~5개의 태풍의 영향이 있었습니다.
- (해양 상태) 북서태평양 열대지역의 해수면 온도가 평년과 비슷하게 유지되고 있어 열대저기압 발생 및 발달에 좋은 조건이 유지되겠고, 특히 한반도 주변 해역의 해수면 온도가 높아 태풍이 북상할 경우 태풍의 강도 유지에 좋은 조건이 되겠습니다.
- (대기 상태) 북태평양고기압이 6월에는 평년과 비슷하거나 북쪽으로 확장하겠고, 7월과 8월은 일시적으로 크게 확장하거나 수축하는 등의 큰 변동성을 보이겠습니다. 태풍은 필리핀 동쪽 해상에서 주로 발생하여 6월은 대만 부근 해상이나 남중국해로 이동하겠고, 7월과 8월은 동중국해나 일본 남동해상으로 북상하면서 전향하는 경로를 보이겠으나 불확실성이 매우 크겠습니다.
- (영향 가능성) 6월에 북태평양고기압의 가장자리가 한반도 남쪽에 위치하거나, 7월과 8월에 고기압 수축 또는 확장 시 태풍이 동중국해로 북상하거나, 일본 남동해상에서 규슈 부근으로 북상할 때 태풍의 영향 가능성이 있습니다.

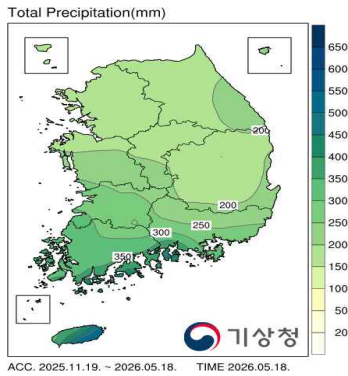
✓ 용어 해설

- ⑥ 기후예측모델: 전지구 기후예측시스템(GloSea6) 앙상블 기반으로 해면기압, 풍속, 온도, 와도를 기준으로 태풍을 추출하여 확률분포를 활용한 예보 제공, ⑦ 통계모델: 기후인자를 OLS(Ordinary Least Squares) 회귀식을 이용하여 태풍발생수를 예측, ⑧ 통계-역학모델: NCEP의 기후예측시스템(CFSv4) 기반으로 해수면 온도, 지위고도, 바람, 연직 풍속변화 등을 예측 인자로 사용

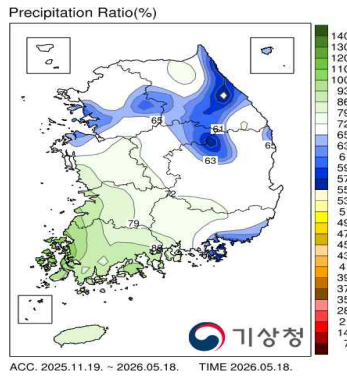
5. 기상가뭄 전망

□ 강수 및 기상가뭄 현황

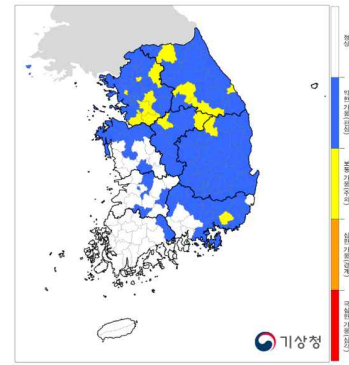
- 최근 6개월 누적강수량을 중심으로 강수 현황을 설명하겠습니다.
 - 최근 6개월('25.11.19.~'26.5.18.) 전국 누적강수량은 평년의 71.1%이며, 지역별로는 62.2%(수도권)~91.0%(전남권)의 분포를 보이고 있습니다.
- 제주도를 제외한 전국 대부분 지역에 기상가뭄이 있습니다.



< 최근 6개월 누적 강수량, 단위 mm >
※ 자료출처: 수문기상 가뭄정보 시스템



< 최근 6개월 강수 평년비, 단위 % >
※ 자료출처: 수문기상 가뭄정보 시스템



< 기상가뭄 현황(5.18. 기준) >

□ 기상가뭄 전망

- 6월 말에는 수도권과 강원도 일부 지역에 기상가뭄 발생 가능성이 있겠고, 7월 말, 8월 말 기준으로 발생 가능성이 낮겠습니다.

* (기상가뭄 판단기간) 6월 말: '26.1.1.~6.30. / 7월 말: '26.2.1.~7.31. / 8월 말: '26.3.1.~8.31.

※ '26.1.1.~'26.5.18. 전국 강수량(평년값), 평년비: 199.4mm(275.6mm), 71.1%

6월 말	7월 말	8월 말
수도권, 강원도 일부 지역에 기상가뭄 발생 가능성	기상가뭄 없음	기상가뭄 없음

< 기상가뭄 단계 기준 >

구분		기상가뭄 단계 기준
	약한 가뭄 (관심)	최근 6개월 누적강수량을 이용한 표준강수지수 -1.0 이하 (평년대비 약 65% 이하)
	보통 가뭄 (주의)	최근 6개월 누적강수량을 이용한 표준강수지수 -1.5 이하 (평년대비 약 55% 이하)
	심한 가뭄 (경계)	최근 6개월 누적강수량을 이용한 표준강수지수 -2.0 이하 (평년대비 약 45% 이하)
	극심한 가뭄 (심각)	최근 6개월 누적강수량을 이용한 표준강수지수 -2.0 이하가 20일 이상으로, 기상가뭄이 지속되어 전국적인 가뭄 피해 가 예상되는 경우

※ 표준강수지수: 최근 6개월 누적강수량과 과거 동일기간의 강수량을 비교하여 기상가뭄 정도를 나타낸 지수로 기상가뭄의 판단기준임

추가 설명 자료

▣ 최근 기압계 분석

▣ 최근 우리나라 주변 해역 분석

▣ 전지구 기후감시 요소 분석

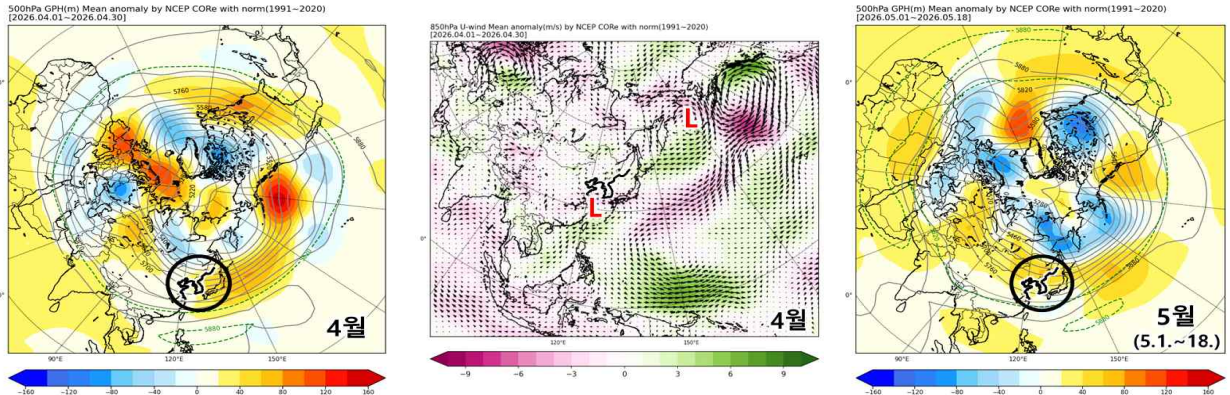
▣ 충남권 통계자료 분석

▣ 기후예측모델 분석

▣ 충남권 월별 기후값

▣ 태풍 발생과 영향 개수(1951~2026년 5월)

■ 최근 기압계 분석



< 4월 500hPa(약 5.5km 상공) 지위고도³⁾ 편차⁴⁾(왼쪽), 850hPa(약 1.5km 상공) 바람 편차(가운데), 5월(5.1~18.) 500hPa 지위고도 편차(오른쪽) > ※ 빨강/파랑 채색: 평년보다 지위고도가 높음/낮음 ※ 자료출처: NCEP

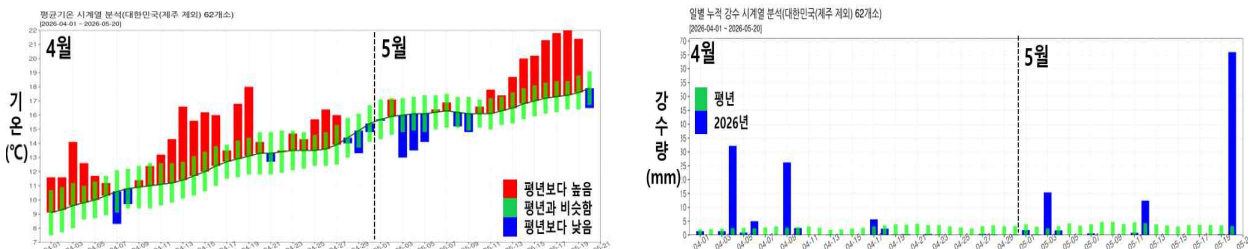
□ (4월) 기온(13.8℃) 평년보다 높고(편차 +1.7℃), 강수량(79.7mm) 평년(비슷범위 70.3~99.3mm)과 비슷하였음

- 양의 북대서양 진동과 관련된 중위도 대기 파동과 남중국해 부근 대류 억제 영향으로 우리나라 남동쪽에 고기압성 순환이 강화되어 그 가장자리를 따라 온난 다습한 남풍이 유입되어 기온은 평년보다 높았고, 상순에 잦은 비가 내려 강수량은 평년과 비슷하였음

□ (5.1~20.) 기온(17.5℃) 평년보다 높고(편차 +1.0℃), 강수량(99.2mm) 평년(비슷범위 54.5~89.4mm)보다 많았음

※ (5.1~31. 평년) 기온 17.3℃, 강수량 102.1mm

- 상순에는 북대서양에서 발달한 강한 저기압의 영향으로 형성된 대기 파동으로 우리나라 상공에 저기압성 순환이 강화되어 잦은 한기 유입으로 기온이 하강하였으나, 중순에는 대기 흐름이 원활해지며 우리나라 상공에 고기압성 순환이 위치하며 고온이 지속되어 기온은 평년보다 높았고, 20일 저기압 통과로 많은 비가 내려 강수량은 평년보다 많았음



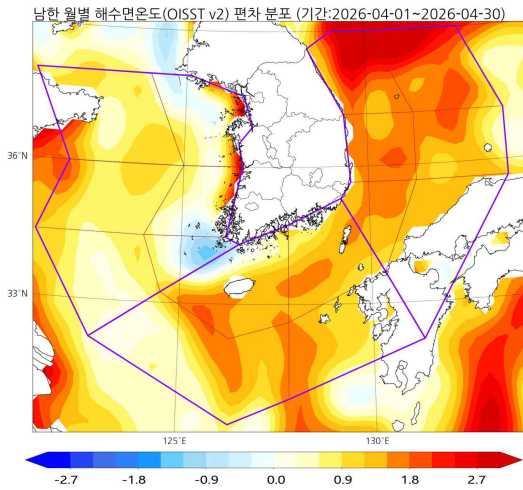
< 전국 일별 평균기온(왼쪽), 강수량(오른쪽) ('26.5.1~5.20.) >

- 3) 지위고도: 지오퍼텐셜을 단위로 하여 측정한 높이. 지면에서 특정 기압이 되는 높이로 지위고도가 주변보다 높으면 고기압, 낮으면 저기압을 의미
- 4) 편차: 특정 변수(기온, 강수량, 지위고도 등)에 대해 특정 시점의 값에서 같은 기간 평년값(과거 30년(1991~2020년)간의 평균)을 뺀 값(30년 평균값에 대해 변화폭이 얼마나 되는지를 가늠하기 위해 사용)

■ 최근 우리나라 주변 해역 분석

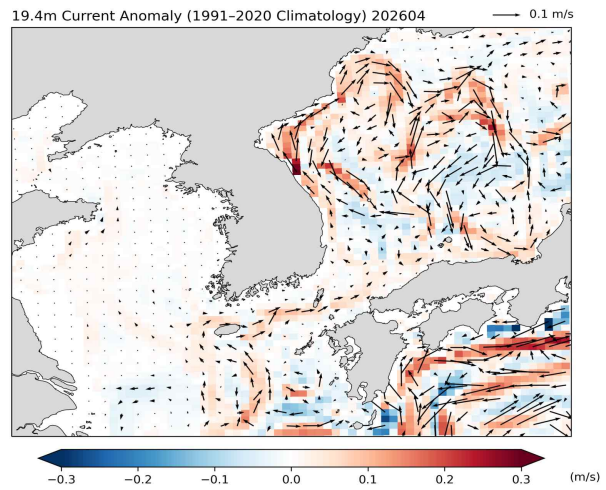
□ (4월) 해수면 온도(13.6℃) 최근 10년 평균보다 높았음(편차 +0.5℃)

- 우리나라 주변 해역으로 유입되는 대마 난류와 동한 난류가 평년보다 강하게 유지되어 해수면 온도가 평년보다 높았음
- 우리나라는 주로 고기압의 영향을 받아 해수면 온도가 평년보다 높았음



< 4월 해수면 온도 편차 >

- ※ 빨강/파랑 채색: 평년보다 해수면 온도가 높음/낮음
- ※ 자료출처: NOAA OISSTv2

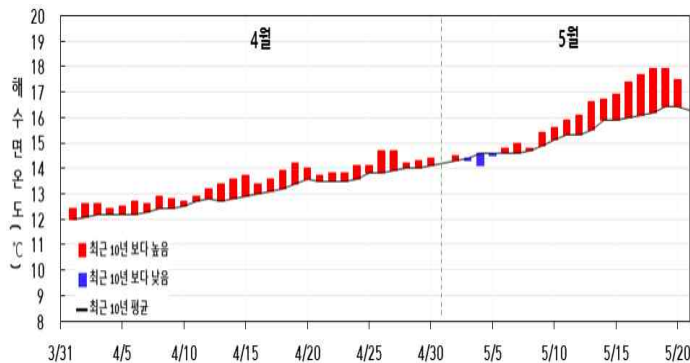


< 4월 해류 편차(수심 약 20m) >

- ※ 빨강/파랑 채색: 평년보다 해류가 강함/약함
- ※ 화살표: 해류 유향·유속 편차 벡터
- ※ 자료출처: ECMWF ORASS

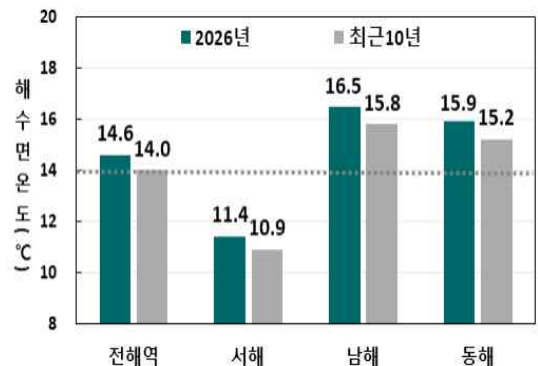
□ (5.1.~20.) 해수면 온도(16.0℃) 최근 10년 평균보다 높았음(편차 +0.7℃)

- 5월 상순 이후 우리나라 상공에 발달한 고기압성 순환의 영향으로 해수면 온도는 최근 10년 평균보다 높았음



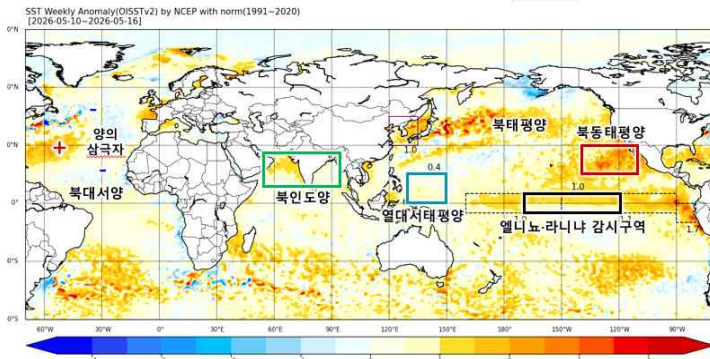
< 우리나라 주변 해역 일별 평균 해수면 온도(왼쪽), 해역별 평균 해수면 온도(오른쪽) (4.1.~5.20.) >

- ※ 자료: 국가승인통계 기상청 해양기상부이 관측자료(17개 지점)

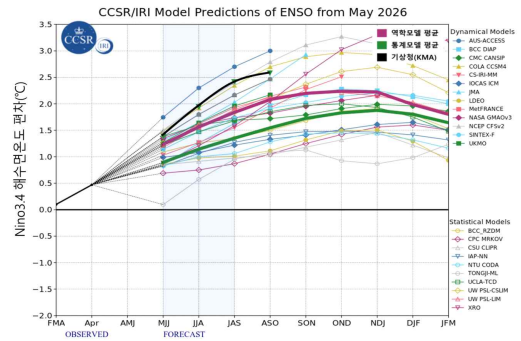


전지구 기후감시 요소 분석

해수면 온도



< 최근(5.10~16.) 전지구 해수면 온도 편차 >
 ※ 빨강/파랑 채색: 평년보다 해수면 온도가 높음/낮음
 ※ 자료출처: NOAA OISST⁵⁾ v2



< 세계 각국 모델의 엘니뇨/라니냐 전망 >
 ※ 자료출처: IRI⁶⁾

✓ (엘니뇨·라니냐 현황 및 전망) 최근(5.10~16.) 엘니뇨·라니냐 감시구역(Niño3.4⁷⁾의 해수면 온도는 평년보다 1.0°C 높은 상태이며, **전망 기간(6~8월) 동안 엘니뇨로 전환될 가능성이 높음**

※ 엘니뇨·라니냐 감시구역 해수면 온도 편차(°C) 현황(ERSST⁸⁾ v5): 2월 -0.3, 3월 -0.1, 4월 +0.2

✓ (해수면 온도 현황 및 영향)

- (북인도양) 봄철 동안 해수면 온도가 평년보다 높은 상태로 이 상태가 지속될 경우 우리나라 부근에 고기압성 순환이 형성되고 남서풍이 유입되어 평년보다 기온과 해수면 온도가 높고, 강수량은 많을 가능성(6~8월)
- (북태평양) 해수면 온도가 평년보다 높은 상태로, 이 상태가 지속될 경우 우리나라 동쪽에 고기압성 순환이 강화되어 남쪽의 고온다습한 기류 유입이 강화 되어 기온과 해수면 온도가 높을 가능성(6~8월)
- (북대서양) 해수면 온도의 양의 삼극자 패턴*이 지속될 경우 대기 파동으로 인해 우리나라 상층에 고기압성 순환이 강화되어 우리나라는 평년보다 기온과 해수면 온도가 높고(6~8월), 강수량은 적을 가능성(6~7월)
 * 북대서양 저위도에서 고위도 방향으로 해수면 온도가 평년보다 낮음/높음/낮음이 나타나는 패턴
- (열대 서태평양) 해수면 온도가 다른 해역에 비해 상대적으로 낮은 상태로 이 상태가 지속될 경우 이 지역 상층에 고기압성 순환이 형성되고, 우리나라 상층에 저기압성 순환이 발달하여 기온이 낮아질 가능성(8월)
- (북동태평양) 해수면 온도가 평년보다 높게 지속될 경우 우리나라 부근에 고기압성 순환이 강화되면서 평년보다 강수량은 적을 가능성(7월)

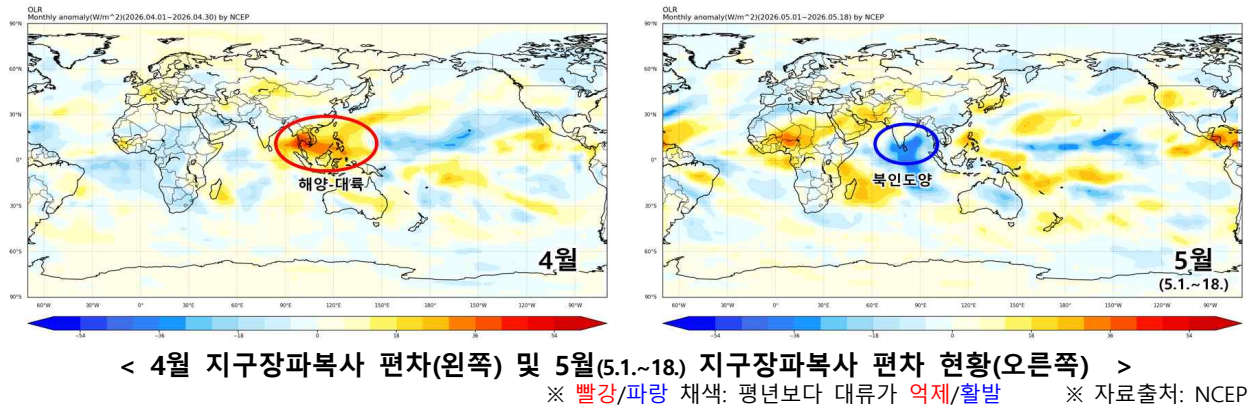
5) OISST: Optimum Interpolation Sea Surface Temperature(최적 내삽 기법이 적용된 해수면 온도)

6) IRI: International Research Institute for Climate and Society

7) Niño3.4: 엘니뇨 감시구역(5°S~5°N, 170°W~120°W)

8) ERSST: Extended Reconstructed Sea Surface Temperature(확장 복원된 해수면 온도)

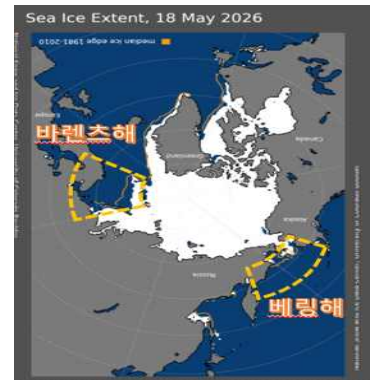
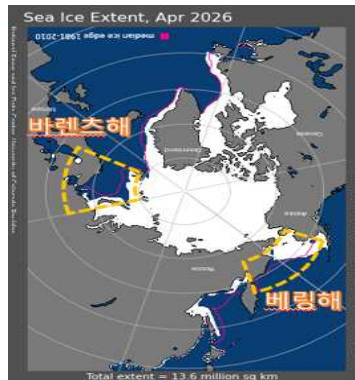
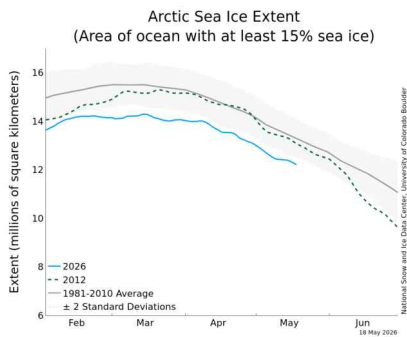
□ 전지구 대류활동



✓ 최근(5.1~18.) 북인도양의 대류 활동이 평년보다 강한 상태임

- 북인도양의 대류 활동이 평년보다 강한 상태가 지속될 경우 우리나라 동쪽에 고기압성 순환이 발달하여 기온이 평년보다 높고, 강수량이 평년보다 많을 가능성(6~8월)

□ 북극 바다얼음(해빙⁹⁾)



< (왼쪽부터) 북극 해빙 면적 시계열, 4월 해빙 면적, 최근(5.18.) 해빙 면적 현황 >

※ 자료출처: NSIDC(National Snow & Ice Data Center)

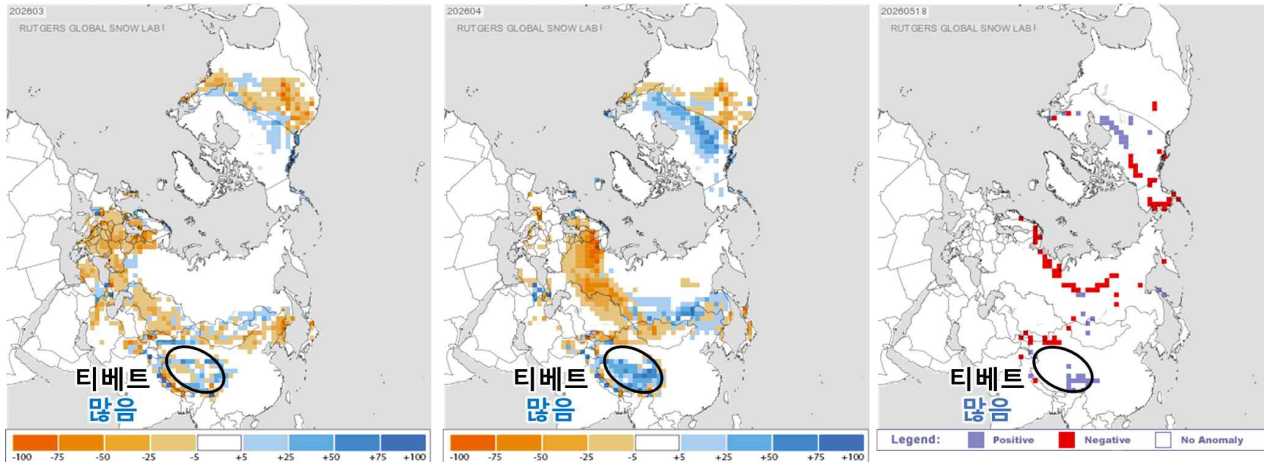
✓ 현재, 오호츠크해, 바렌츠해의 해빙 면적은 평년보다 매우 적은 상태임

※ 해빙 면적 최소 순위(1979~2026년/48년): 북극 3위, 바렌츠해 4위, 베링해 13위(5.1~18. 기준)

- (바렌츠해) 해빙이 평년보다 적은 상태가 지속되면 대기 파동으로 우리나라 북쪽에 고기압성 순환이 형성되면서 북동풍이 유입되어 평년보다 강수량이 적은 경향(6월)
- (베링해) 해빙이 평년보다 적은 상태가 지속되면 이 지역에는 고기압성 순환이, 북서태평양 지역에는 저기압성 순환이 강화되면서 우리나라 부근에는 고온다습한 기류의 유입이 평년보다 약화되어 강수량이 적은 경향(8월)

9) 북극 해빙: 가을~겨울철 북극해의 해빙(바다얼음)이 적으면 북극 주변 찬 공기의 소용돌이가 약해져 북극의 찬 공기는 우리나라가 위치하는 중위도 지역으로 남하할 가능성이 증가하며, 계절에 따라 영향이 다르게 나타남

□ 눈 덮임



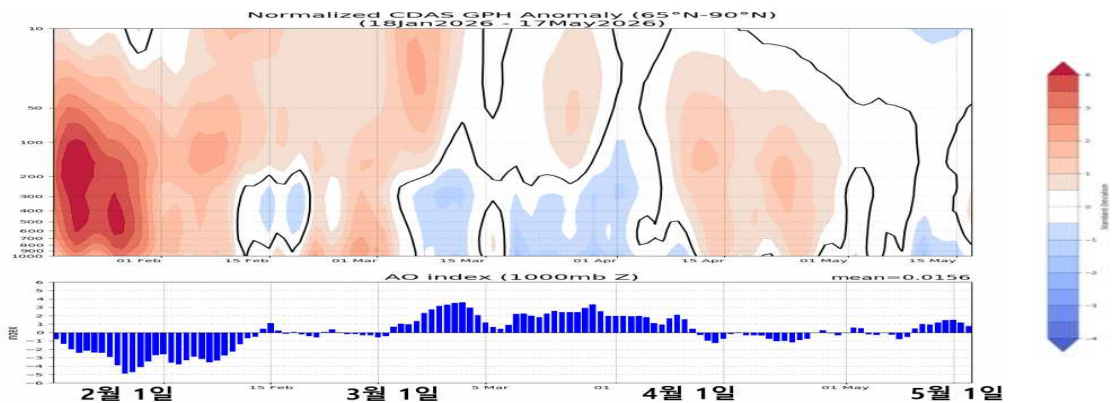
< 왼쪽부터 3월, 4월 및 최근(5.18.) 눈덮임 편차 >

※ 자료출처: Global Snow Lab(GSL), NOAA NIC

✓ 최근 티베트 지역의 눈덮임은 평년보다 많은 상태임

- (티베트) 봄철 티베트 지역에 눈덮임이 평년보다 많은 경우, 지면에서 대기로 열 방출이 감소하여, 티베트 고기압 강도가 약화 되고, 우리나라 상층 기압골이 강화되어 평년보다 기온과 해수면 온도가 낮고, 강수량은 증가할 가능성(6월)

□ 북극진동¹⁰⁾(AO)



< 지위고도 연직구조(위쪽) 및 북극진동 변화(아래쪽) (26.1.16.~5.17.) >

※ 빨강/파랑 채색: 평년보다 지위고도가 높음/낮음 ※ 자료출처: NCEP/NOAA

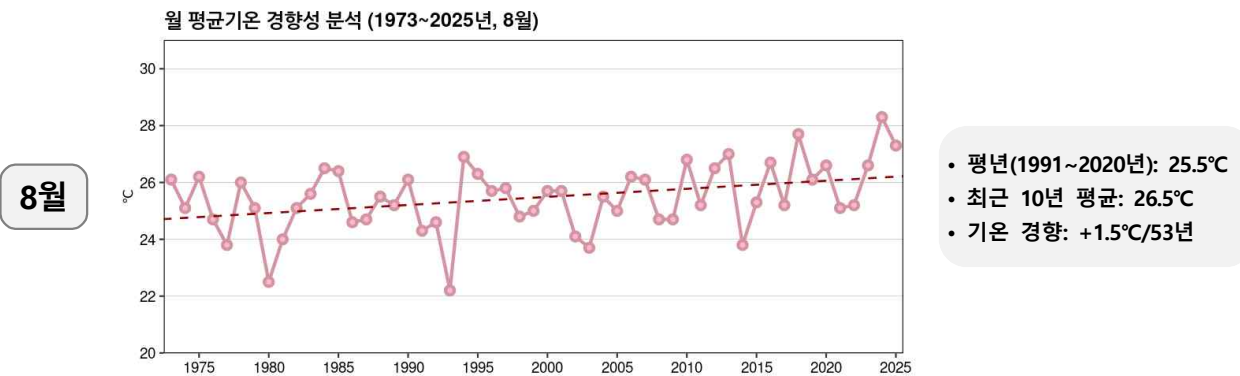
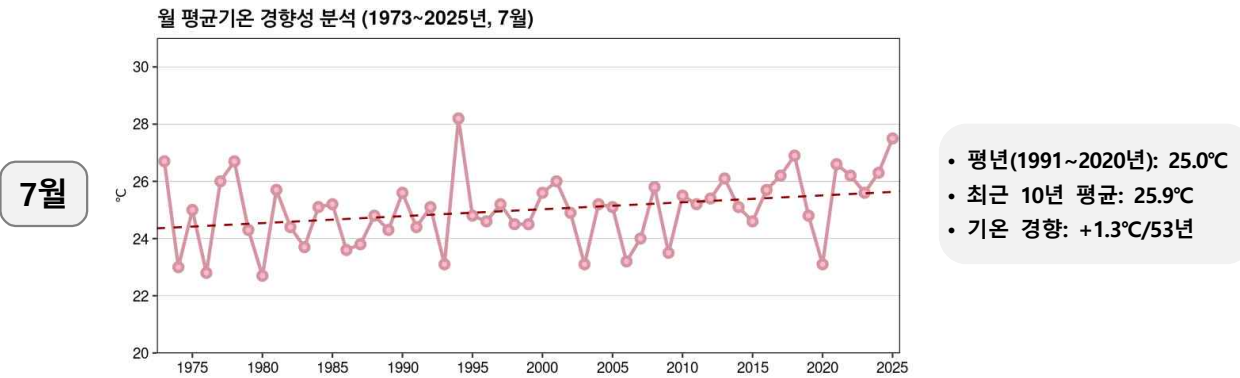
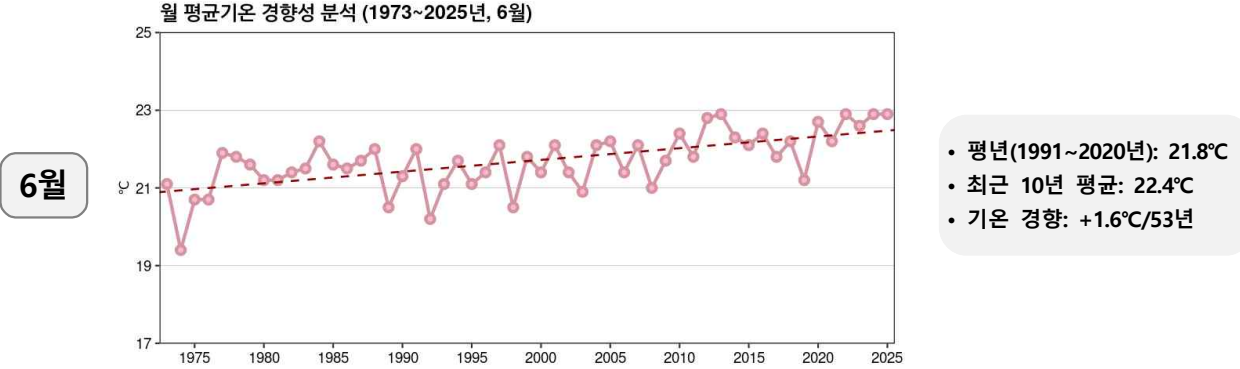
✓ 최근 북극진동은 양의 상태이나 변동 가능성이 큼

- 북극진동이 양의 상태인 경우 기압계의 동서 방향 흐름이 원활해지고, 북극의 찬 공기가 차단되어 우리나라를 포함한 중위도 지역의 기온이 높을 가능성

10) 북극진동(Arctic Oscillation): 북극 주변을 돌고 있는 강한 소용돌이가 수십 일 또는 수십 년 주기로 강약을 되풀이하는 현상
음의 북극진동은 북극의 기압이 높고, 중위도의 기압이 낮아지는 상태

■ 충남권 통계자료 분석

□ 기온 온난화 추세

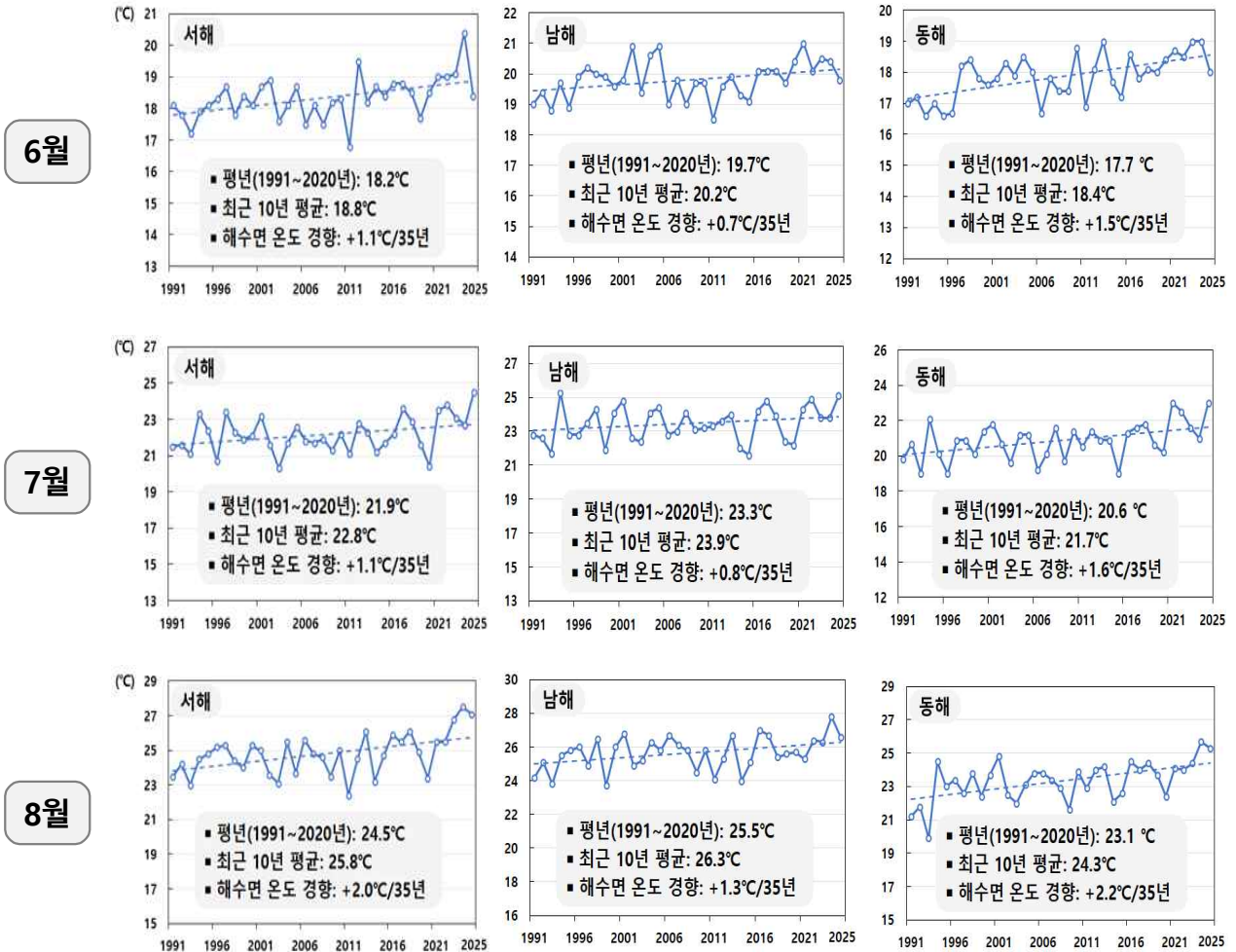


< 월 평균기온 경향성(Trend) 분석 >

※ 분석기간: 1973년~2025년

- ✓ 최근 10년 동안 평균기온은 평년 대비 6월 0.6°C, 7월 0.9°C, 8월 1.0°C 상승
- ✓ 전체 기간 6월 1.6°C, 7월 1.3°C, 8월 1.5°C 상승 경향

□ 해수면 온도 온난화 추세



< 월 평균 해수면 온도 경향성(Trend) 분석(1991년~2025년) >

※ 자료출처: NOAA OISSTv2

- ✔ 최근 10년 동안 평균 해수면 온도는 평년 대비 6월 서해 0.6°C, 남해 0.5°C, 동해 0.7°C 상승, 7월 서해 0.9°C, 남해 0.6°C, 동해 1.1°C 상승, 8월 서해 1.3°C, 남해 0.8°C, 동해 1.2°C 상승
- ✔ 전체 기간 6월 서해 1.1°C, 남해 0.7°C, 동해 1.5°C 상승, 7월 서해 1.1°C, 남해 0.8°C, 동해 1.6°C, 8월 서해 2.0°C, 남해 1.3°C, 동해 2.2°C 상승 경향

■ 기후예측모델 분석

□ 전 세계 기후예측모델의 앙상블 평균 확률

○ (기온) 6~8월 동안 평년보다 높은 확률을 58~76%로 예측하였음

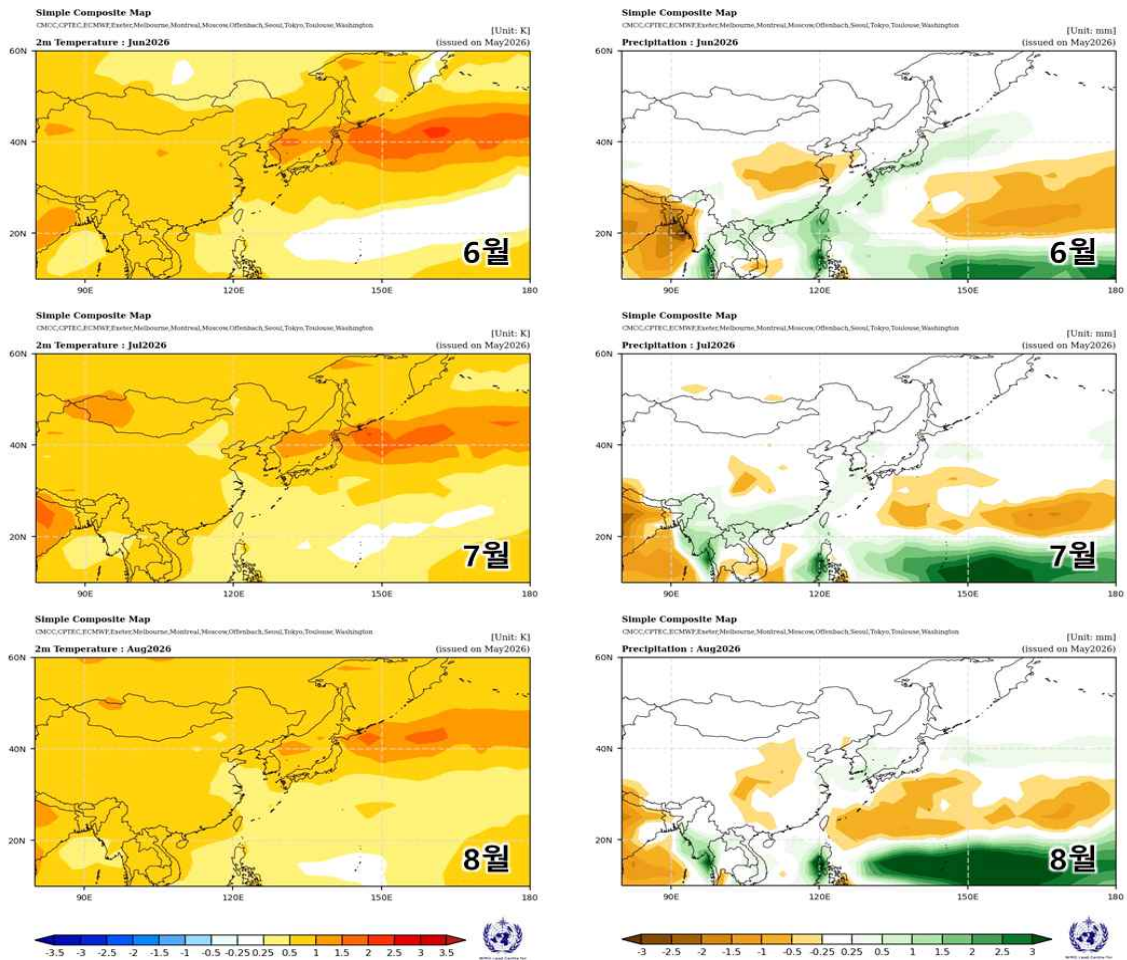
- (6월) 4/20/76%, (7월) 9/27/64%, (8월) 12/30/58%

※ 기온의 낮음/비슷/높음 범위에 대한 앙상블 평균 확률을 의미

○ (강수량) 6~8월은 세 범위(적음/비슷/많음)를 비슷한 확률로 예측하였음

- (6월) 35/35/30%, (7월) 31/33/36%, (8월) 31/34/35%

※ 강수량의 적음/비슷/많음 범위에 대한 앙상블 평균 확률을 의미



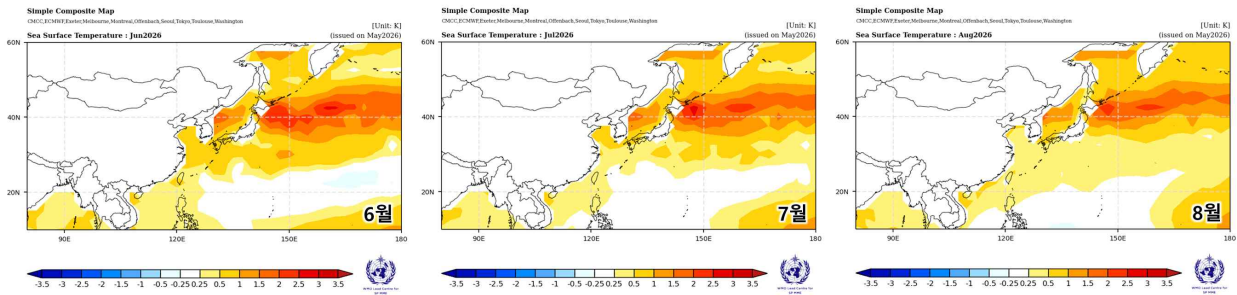
< 6~8월 기온(왼쪽) 및 강수량(오른쪽) 편차 >

※ 기온 **빨강/파랑** 채색: 평년보다 기온이 높음/낮음, 강수 **초록/갈색** 채색: 평년보다 강수량이 많음/적음
 ※ 자료출처: WMO 다중모델앙상블 선도센터

○ (해수면 온도) 6~8월 동안 해수면 온도가 평년보다 높을 확률을 서해 48~65%, 남해 71~81%, 동해 56~83%로 예측하였음

- (6월) 서해 5/30/65%, 남해 3/16/81%, 동해 3/14/83%, (7월) 서해 9/35/56%, 남해 5/24/71%, 동해 5/21/74%, (8월) 서해 14/38/48%, 남해 7/22/71%, 동해 9/35/56%

※ 해수면 온도의 낮음/비슷/높음 범위에 대한 **양상별 평균 확률**을 의미



< 6~8월 해수면 온도 편차 >

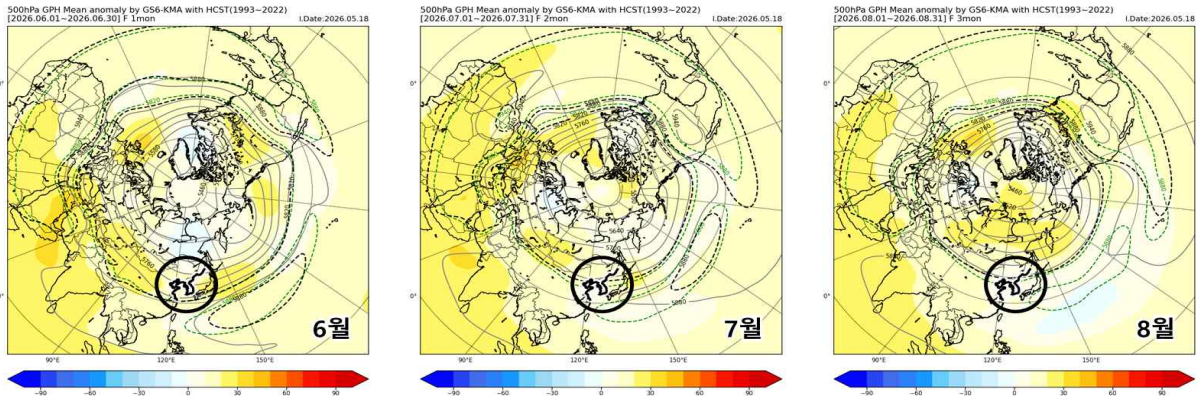
※ **빨강/파랑** 채색: 평년보다 해수면 온도가 **높음/낮음**
 ※ 자료출처: WMO 다중모델양상별 선도센터

□ 기상청 기후예측모델(GloSea6) 결과

○ (기온) 6~8월 동안 기온이 평년보다 높을 확률을 45~84%로 예측하였음

- 6~7월은 우리나라 동쪽 고기압성 순환의 영향을 받겠고, 8월 우리나라 주변 고기압성 순환이 약화될 것으로 예상

※ 앙상블 평균 확률(낮음/비슷/높음): (6월) 2/14/84%, (7월) 12/34/54%, (8월) 15/40/45%



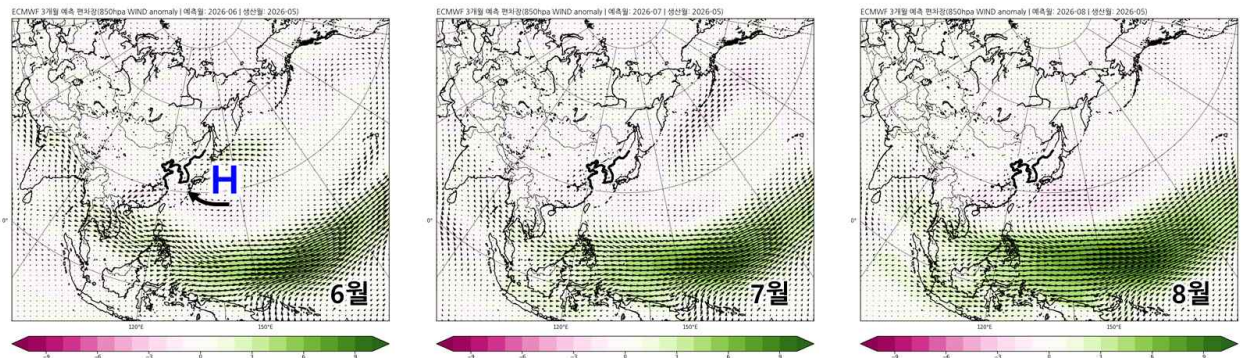
< 6~8월 500hPa(약 5.5km 상공) 지위고도 편차 >

※ 빨강/파랑 채색: 평년보다 지위고도가 높음/낮음

○ (강수량) 6~7월은 세 범위(적음/비슷/많음)를 비슷한 확률로, 8월은 비슷할 확률(46%)이 클 것으로 예측하였음

- 6~7월은 우리나라 동쪽 고기압성 순환으로 남풍 편차 영향, 8월 우리나라 주변 고기압성 순환 약화되며 바람편차 뚜렷하지 않을 것으로 예상

※ 앙상블 평균 확률(적음/비슷/많음): (6월) 31/32/37%, (7월) 33/35/32%, (8월) 31/46/23%



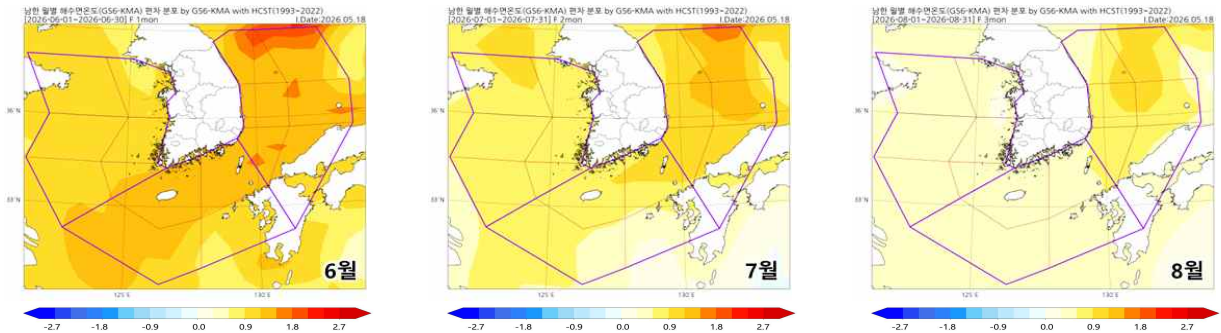
< 6~8월 850hPa(약 1.5km 상공) 바람 편차 >

※ 녹색/보라 채색: 평년보다 서풍/동풍이 강한 바람

○ (해수면 온도) 6~8월 동안 우리나라 주변 해역 해수면 온도가 평년보다 높을 것으로 예측하였음. 해역별로는,

- (서해) 6~8월 동안 평년보다 높을 확률을 58~87%로 예측하였음
- (남해) 6~8월 동안 평년보다 높을 확률을 76~97%로 예측하였음
- (동해) 6~8월 동안 평년보다 높을 확률을 69~95%로 예측하였음

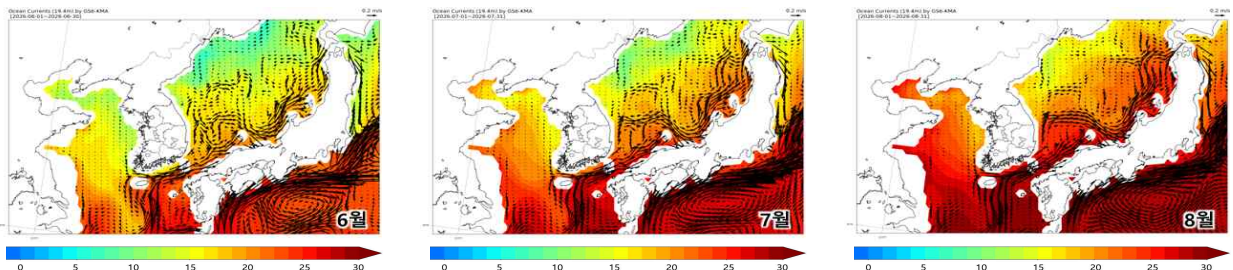
※ 앙상블 평균 확률(낮음/비슷/높음): (6월) 서해 3/10/87%, 남해 0/3/97%, 동해 1/4/95% (7월) 서해 12/18/70%, 남해 7/17/76%, 동해 8/17/75% (8월) 서해 19/23/58%, 남해 6/15/79%, 동해 12/19/69%



< 6~8월 해수면 온도 편차 >

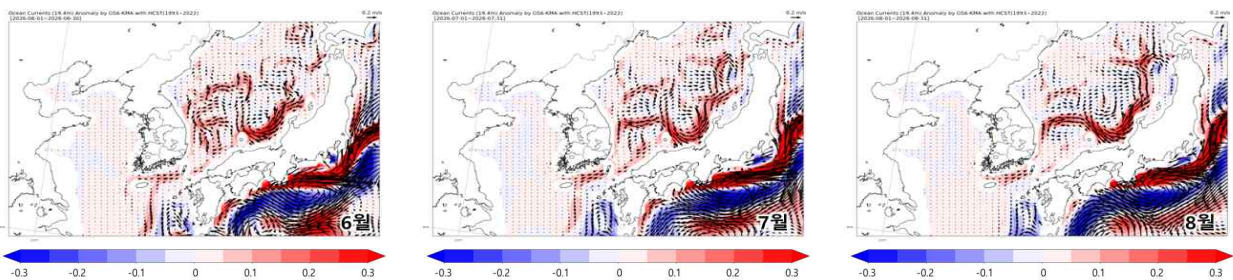
※ 빨강/파랑 채색: 평년보다 해수면 온도가 높음/낮음

- 대마 난류와 동한 난류가 평년보다 강화되어 남해와 동해를 중심으로 높은 해수면 온도가 유지될 가능성 예상



< 6~8월 월평균 수온 및 해류(수심 약 20m) >

※ 채색: 평균 수온, 화살표: 해류 유향·유속 평균 벡터



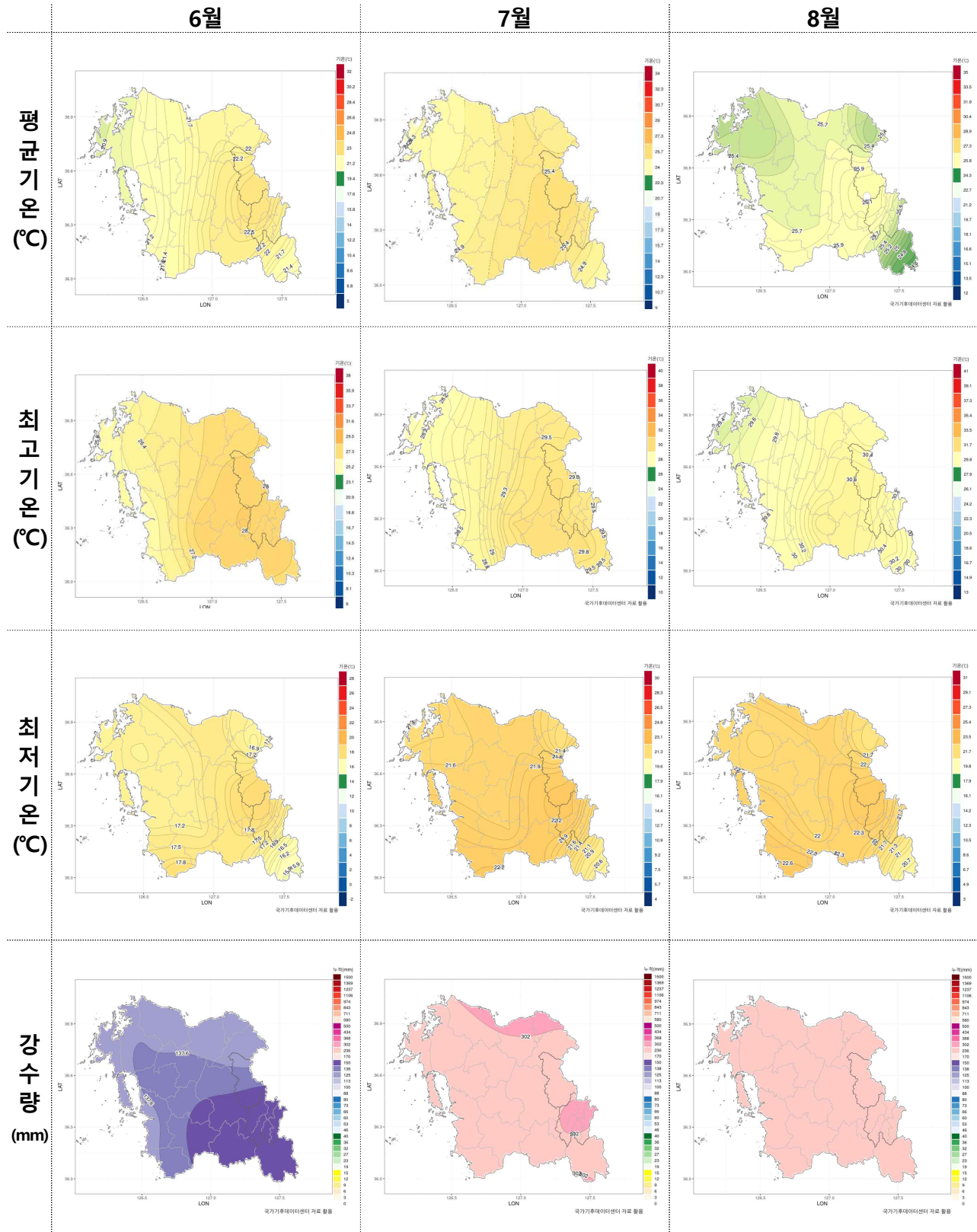
< 6~8월 해류 편차(수심 약 20m) >

※ 빨강/파랑 채색: 평년보다 해류가 강화/약함

※ 화살표: 해류 유향·유속 편차 벡터

충남권 월별 기후값

1. 충남권 기후 평년분포도(6~8월)



2. 지역별 월별 기후 평년값(6~8월)

(평년기간: 1991~2020년)

평균기온

단위 : °C

구분	충남권	대전	천안	보령	서산	금산	부여
6월	21.8	22.7	21.8	21.1	21.3	21.6	22.1
7월	25.0	25.5	24.9	24.8	24.5	24.8	25.3
8월	25.5	26.0	25.2	25.7	25.3	24.9	25.7
평균	24.1	24.7	24.0	23.9	23.7	23.8	24.4

최저기온

단위 : °C

구분	충남권	대전	천안	보령	서산	금산	부여
6월	17.1	18.1	16.8	17.1	17.0	16.1	17.2
7월	21.6	22.2	21.2	21.9	21.5	20.8	21.8
8월	21.8	22.5	21.3	22.3	21.7	20.9	21.9
평균	20.1	20.9	19.8	20.4	20.1	19.3	20.3

최고기온

단위 : °C

구분	충남권	대전	천안	보령	서산	금산	부여
6월	27.2	27.9	27.5	25.7	26.4	27.8	28.0
7월	29.3	29.6	29.5	28.4	28.5	29.8	29.8
8월	30.2	30.3	30.2	29.8	29.7	30.3	30.8
평균	28.9	29.3	29.1	28.0	28.2	29.3	29.5

강수량

단위 : mm

구분	충남권	대전	천안	보령	서산	금산	부여
6월	147.6	167.3	127.0	134.0	138.2	161.8	157.1
7월	284.5	306.9	284.1	248.1	274.6	297.8	295.7
8월	287.1	299.8	299.7	270.3	283.5	284.3	284.8
평균	719.2	774.0	710.8	652.4	696.3	743.9	737.6

3. 충남권 월별 최근 10년 평균 기후값

(평균/평년기간: 2016~2025년/1991~2020년)

기후 요소	단위	6월	7월	8월
평균기온(평년편차)	°C	22.4(+0.6)	25.9(+0.9)	26.5(+1.0)
평균최고/최저기온	°C	27.9/17.6	30.2/22.4	31.2/22.8
강수량/강수일수	mm/일	116.6/9.0	347.8/14.3	231.9/12.7
일조시간	시간	224.1	179.1	199.2
일최고기온 30°C 이상 일수	일	7.2	16.9	21.0
열대야 일수(밤 최저기온 25°C 이상)	일	0.2	4.4	6.5
폭염 일수(최고기온 33°C 이상)	일	1.0	6.8	10.1

※ 기온·강수량 6개 지점 평균, 일조시간은 2개 지점(대전, 서산) 평균임

※ 최근 10년 기간: 6~8월(2016~2025년)

※ 열대야일수: 밤(18:01~익일 09:00) 최저기온이 25°C 이상인 날

4. 충남권 6~8월 평균기온 및 강수량 순위(1973년 이후, 상·하위 5위)

순위	평균기온(°C)			평균최고기온(°C)			평균최저기온(°C)			강수량(mm)		
	6월	7월	8월	6월	7월	8월	6월	7월	8월	6월	7월	8월
1	22.9 (2025년)	28.2 (1994년)	28.3 (2024년)	29.0 (2024년)	33.6 (1994년)	33.2 (2024년)	18.7 (2022년)	23.9 (1994년)	24.5 (2024년)	350.1 (2011년)	689.2 (2023년)	855.4 (1995년)
2	22.9 (2024년)	27.5 (2025년)	27.7 (2018년)	28.5 (2013년)	32.4 (2025년)	32.9 (2018년)	18.4 (2020년)	23.5 (1986년)	23.8 (2010년)	336.2 (1979년)	630.5 (2011년)	585.0 (1987년)
3	22.9 (2022년)	26.9 (2018년)	27.3 (2025년)	28.4 (2012년)	31.8 (2018년)	32.3 (2016년)	18.4 (2013년)	23.4 (1977년)	23.7 (2020년)	330.8 (1990년)	611.5 (1987년)	555.7 (2000년)
4	22.9 (2012년)	26.7 (2021년)	27.0 (2013년)	28.2 (2025년)	31.6 (2021년)	32.0 (2025년)	18.2 (2025년)	23.4 (1991년)	23.5 (2025년)	316.3 (1996년)	529.8 (2024년)	519.4 (2012년)
5	22.8 (1975년)	26.7 (1978년)	26.9 (1994년)	28.2 (1997년)	31.6 (1973년)	31.9 (1994년)	18.1 (2012년)	23.2 (2007년)	23.5 (2018년)	295.9 (2004년)	511.0 (2006년)	499.1 (1998년)
....												
하위 5	20.7 (1975년)	23.1 (2003년)	23.8 (2014년)	25.9 (1996년)	27.1 (2003년)	27.9 (2003년)	15.6 (976년)	19.9 (2022년)	19.9 (1991년)	49.3 (2016년)	136.3 (2015년)	91.1 (1996년)
하위 4	20.5 (1998년)	23.1 (1993년)	23.8 (1977년)	25.9 (1989년)	26.9 (2020년)	27.9 (2002년)	15.5 (1989년)	19.6 (1980년)	19.9 (1981년)	44.2 (1992년)	135.6 (1999년)	88.3 (1988년)
하위 3	20.5 (1974년)	23.0 (1974년)	23.7 (2003년)	25.9 (1976년)	26.9 (1980년)	27.8 (2014년)	15.5 (1982년)	19.5 (2012년)	19.2 (1980년)	32.5 (2017년)	119.5 (1973년)	76.4 (2006년)
하위 2	20.2 (1992년)	22.8 (1976년)	22.5 (1980년)	25.2 (1998년)	26.9 (1974년)	26.9 (1993년)	14.6 (1992년)	19.5 (1973년)	19 (1977년)	31.3 (1995년)	114.5 (1976년)	58.3 (2015년)
최하위	19.4 (1974년)	22.7 (1980년)	22.2 (1993년)	25.1 (1974년)	26.7 (2006년)	26.8 (1980년)	14.3 (1974년)	18.9 (2005년)	18.3 (1993년)	12.1 (1982년)	110.5 (1994년)	52.9 (2016년)
'23년	22.6	25.6	26.6	28.0	29.7	31.4	18.0	22.7	23.0	146.5	689.2	234.3
'24년	22.9	26.3	28.3	29.0	29.9	33.2	17.2	23.4	24.5	100.6	529.8	147.4
'25년	22.9	27.5	27.3	28.2	32.4	32.0	18.2	23.5	23.5	220.9	364.8	99.8

5. 최근 10년(2016~2025년) 이상기후 발생일수 현황

단위: 일

구 분		2016	2017	2018	2019	2020	2021	2022	2023	2024	2025	
이상고온	최고온	6월	1.8	3.5	4.5	2.0	5.8	2.3	4.5	4.7	8.2	5.8
		7월	3.0	3.7	16.5	2.3	0.2	11.8	8.7	4.2	2.0	17.8
		8월	13.2	1.5	14.2	3.7	4.5	0.5	0.0	5.7	13.2	10.5
	최저온	6월	5.2	0.3	2.0	0.0	9.0	5.2	11.0	5.0	3.7	10.2
		7월	1.8	11.0	7.8	1.2	0.0	3.2	6.8	4.5	7.2	11.0
		8월	4.0	2.8	10.0	2.0	9.3	0.0	4.3	5.3	15.5	10.8
이상저온	최고온	6월	1.2	1.8	1.2	2.0	2.5	2.7	2.7	0.3	0.2	1.7
		7월	1.7	1.0	1.8	2.7	9.2	1.0	1.7	1.5	0.7	1.7
		8월	1.5	4.7	0.7	0.2	3.5	2.5	3.5	2.0	0.0	1.2
	최저온	6월	1.2	5.2	1.2	2.8	0.2	1.0	0.5	0.2	2.2	2.3
		7월	1.0	0.3	0.7	4.4	6.3	0.0	0.5	0.0	0.0	0.0
		8월	2.2	3.5	0.7	2.2	0.0	0.0	3.2	0.2	0.0	0.3

빨강: 평년보다 많은 발생일수

▣ 태풍 발생과 영향 개수(1951년~2026년 5월)

※ 2026.5.22. 기준

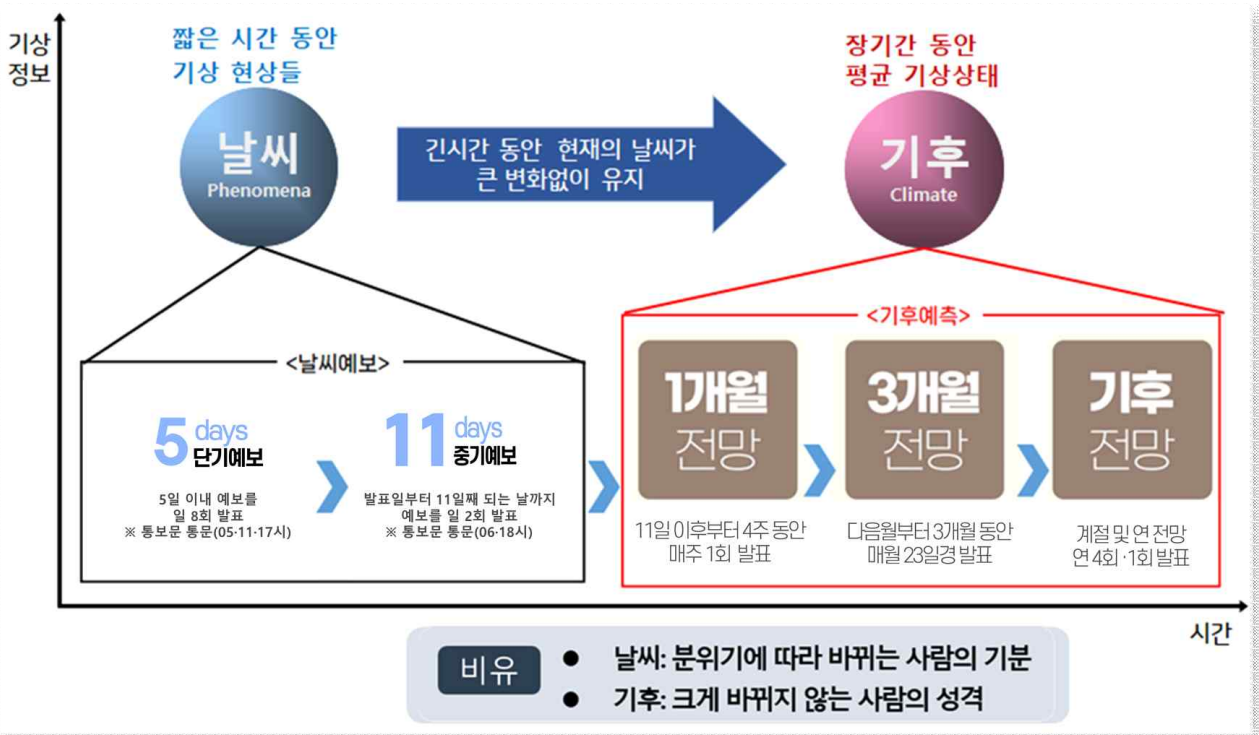
* (): 영향태풍수

연도	1월	2월	3월	4월	5월	6월	7월	8월	9월	10월	11월	12월	연 합계
2026	1	1	1	1	1	-	-	-	-	-	-	-	5 (0)
2025						2	7	5	6	4	3		27
2024					2		2	6(2)	8	3	4	1	26 (2)
2023				1	1	1	3(1)	6	2	2		1	17 (1)
2022				2		1	3(3)	5(1)	7(1)	5	1	1	25 (5)
2021		1		1	1	2	3	4(2)	4(1)	4	1	1	22 (3)
2020					1	1		7(3)	4(1)	7	2	1	23 (4)
2019	1	1				1	4 (1)	5 (3)	6 (3)	4	6	1	29 (7)
2018	1	1	1			4 (1)	5	9 (2)	4 (2)	1	3		29 (5)
2017				1		1	8 (2)	5	4 (1)	3	3	2	27 (3)
2016							4	7	7 (2)	4	3	1	26 (2)
2015	1	1	2	1	2	2 (1)	4 (2)	3 (1)	5	4	1	1	27 (4)
2014	2	1		2		2	5 (3)	1	5	2 (1)	1	2	23 (4)
2013	1	1				4 (1)	3	6 (1)	8	6 (1)	2		31 (3)
2012			1		1	4	4 (2)	5 (2)	3 (1)	5	1	1	25 (5)
2011					2	3 (1)	4 (1)	3 (1)	7	1		1	21 (3)
2010			1				2	5 (2)	4 (1)	2			14 (3)
2009					2	2	2	5	7	3	1		22
2008				1	4	1	2 (1)	4	5	1	3	1	22 (1)
2007				1	1		3 (2)	4	5 (1)	6	4		24 (3)
2006					1	1	3 (1)	7 (1)	3 (1)	4	2	2	23 (3)
2005	1		1	1		1	5	5 (1)	5	2	2		23 (1)
2004				1	2	5 (1)	2 (1)	8 (3)	3	3	3	2	29 (5)
2003	1			1	2 (1)	2 (1)	2	5 (1)	3 (1)	3	2		21 (4)
2002	1	1			1	3 (1)	5 (2)	6 (1)	4	2	2	1	26 (4)
2001					1	2	5	6 (1)	5	3	1	3	26 (1)
2000					2		5 (2)	6 (2)	5 (1)	2	2	1	23 (5)
1999				2		1	4 (2)	6 (1)	6 (2)	2	1		22 (5)
1998							1	3	5 (1)	2 (1)	3	2	16 (2)
1997				2	3	3 (1)	4 (2)	6	4 (1)	3	2	1	28 (4)
1996		1		1	2		5 (1)	6 (1)	6	2	2	1	26 (2)
1995				1		1	2 (1)	6 (1)	5 (1)	6	1	1	23 (3)
1994				1	1	2	7 (2)	9 (2)	8	6 (1)		2	36 (5)
1993			1			1	4 (2)	7 (2)	5	5	2	3	28 (4)
1992	1	1				2	4	8 (1)	5 (1)	7	3		31 (2)
1991			2	1	1	1	4 (1)	5 (2)	6 (2)	3	6		29 (5)
1990	1			1	1	3 (1)	4 (1)	6 (1)	4 (1)	4	4	1	29 (4)
1989	1			1	2	2 (1)	7 (1)	5	6	4	3	1	32 (2)
1988	1				1	3	2	8	8	5	2	1	31
1987	1			1		2	4 (2)	4 (1)	6	2	2	1	23 (3)
1986		1		1	2	2 (1)	3	5 (1)	3 (1)	5	4	3	29 (3)
1985	2				1	3 (1)	1	8 (3)	5 (1)	4	1	2	27 (5)
1984						2	5 (1)	5 (2)	4	7	3	1	27 (3)
1983						1	3	5	2 (1)	5	5	2	23 (1)
1982			3		1	3	3 (1)	5 (2)	5 (1)	3	1	1	25 (4)

연도	1월	2월	3월	4월	5월	6월	7월	8월	9월	10월	11월	12월	연 합계
1981			1	2		3 (2)	4 (1)	8 (1)	4 (1)	2	3	2	29 (5)
1980				1	4	1	4 (1)	2 (1)	6 (1)	4	1	1	24 (3)
1979	1		1	1	2		4	2 (2)	6	3	2	2	24 (2)
1978	1			1		3 (1)	4 (1)	8 (1)	5 (1)	4	4		30 (4)
1977			1			1	3	3 (1)	5 (1)	5	1	2	21 (2)
1976	1	1		2	2	2	4 (3)	4 (2)	5 (1)	1	1	2	25 (6)
1975	1						2 (1)	4 (1)	5	5	3	1	21 (2)
1974	1		1	1	1	4 (1)	4 (1)	5 (1)	5	4	4	2	32 (3)
1973							7 (2)	5 (1)	2	4	3		21 (3)
1972	1				1	3	6 (2)	5 (1)	5 (1)	5	3	2	31 (4)
1971	1		1	3	4	2	8 (1)	5 (1)	6 (1)	4	2		36 (3)
1970		1				2 (1)	3 (1)	6 (2)	5	5	4		26 (4)
1969	1		1	1			3	4	3 (1)	3	2	1	19 (1)
1968				1	1	1	3 (1)	8 (1)	3 (1)	5	5		27 (3)
1967		1	2	1	1	1	7 (1)	9	9	4	3	1	39 (1)
1966				1	2	1	4	10 (3)	9	4	3	1	35 (3)
1965	2	1	1	1	2	3	5 (2)	5 (1)	8	2	2		32 (3)
1964					2	2	7 (4)	5	6	5	6	1	34 (4)
1963				1		4 (2)	4 (1)	3	5	4		3	24 (3)
1962		1		1	2		5 (2)	8 (2)	4	5	3	1	30 (4)
1961	1		1		2 (1)	3 (1)	4 (1)	6	6 (2)	4	1	1	29 (5)
1960				1	1	3	3 (1)	10 (2)	3	4	1	1	27 (3)
1959		1	1	1			2 (2)	5 (2)	5 (3)	4	2	2	23 (7)
1958	1			1	1	4	7	5 (1)	5	3	2	2	31 (1)
1957	2			1	1	1 (1)	1	4 (1)	5	4	3		22 (2)
1956			1	2		1	2	5 (2)	6 (2)	1	4	1	23 (4)
1955	1	1	1	1		2	7 (2)	6	4 (1)	3	1	1	28 (3)
1954			1		1		1	5 (1)	5 (2)	4	3	1	21 (3)
1953		1			1 (1)	2 (1)	1	6 (1)	3	5	3	1	23 (3)
1952						3 (1)	3 (1)	5 (2)	3	6	3	4	27 (4)
1951		1	1	2	1	1	3	3 (1)	2 (1)	4 (1)	1	2	21 (3)
10년평균 (2011~ 2020)	0.6	0.5	0.4	0.4	0.6	2.2 (0.4)	4.1 (1.1)	5.1 (1.3)	5.3 (1.0)	3.7 (0.2)	2.2	1.0	26.1 (4.0)
평년 (1991~ 2020)	0.3	0.3	0.3	0.6	1.0	1.7 (0.3)	3.7 (1.0)	5.6 (1.2)	5.1 (0.8)	3.5 (0.1)	2.1	1.0	25.1 (3.4)

붙임1

날씨(단기, 중기예보)와 기후(1개월, 3개월전망)의 차이점



붙임2

3개월 전망을 확률로 하는 이유

3개월전망을 확률로 하는 이유

다양한 기후인자의 복잡한 상호작용은 시간이 지날수록 변동폭이 커져 안정적인 요소를 예측하는데 과학적 한계가 있음.

이에 여러 개의 기후예측모델을 수행하여 확률적으로 미래를 예측함

